

44075

8/5/67

Д 1967
602

ИНСТИТУТ ЯДЕРНОЙ ФИЗИКИ СИБИРСКОГО ОТДЕЛЕНИЯ АН СССР

Ин. деп. № 0440752

препринт

Е.А. Абрамян, В.В. Вечеславов, В.И. Кононов

Предельные токи протонов в ускорительной
трубке с жёсткой фокусировкой

г. Новосибирск 1967

Δ 1367
602

А н н о т а ц и я

Рассматривается движение интенсивного протонного пучка в ускорительной трубке с жесткой фокусировкой, осуществляемой квадрупольными линзами.

Определяется зависимость максимального пропускаемого трубкой тока I_{max} от величины фазового объема пучка V_n , а также необходимые для реализации предельных режимов ускорения условия на входе пучка в трубку.

В качестве основного метода отыскания указанных зависимостей применяется метод случайного поиска.

Полученные характеристики могут быть использованы для выбора рабочего режима трубки, инжектора протонов и системы ионно-оптического согласования.

СВЕРЕНО

УЧЕТ СОЛН СОУ
Гос. Публ. Науч.-тех.
Библиотека

Сверено
1967 г.

44075-67

Максимальные значения токов протонов, ускоряемых до энергий порядка нескольких Мэв с помощью ускорителей новых типов, например, на основе трансформатора /1/, в значительной мере определяются электрической прочностью и фокусирующими качествами ускорительных трубок. В связи с этим возникает необходимость нахождения предельных по условиям фокусировки пропускных характеристик конкретных конструкций ускорительных трубок и выяснения входных условий, необходимых для реализации режимов ускорения предельных токов.

При изучении движения интенсивного протонного пучка в ускорительной трубке часто ограничиваются построением траекторий "крайних" частиц пучка, причем начальные условия на входе в трубку выбираются на основании данных об инжекторе протонов /2/.

Как показано в работе /3/, траектория "крайней" частицы совпадает с огибающей пучка лишь при нулевых фазовых объемах, т.е. при пренебрежении дефокусирующим влиянием тепловых скоростей. Это пренебрежение, а вместе с ним и гипотеза ламинарности недопустимы для реальных протонных пучков.

Максимальный ток пучка I_{max} , захватываемый в режим ускорения, зависит от величины фазового объема пучка V_n . Для выбора рабочего режима и требований к инжектору должна быть определена пропускная характеристика трубки $I_{max} = f(V_n)$.

Чтобы реализовать предельный рабочий режим ускорения, необходимо обеспечить определенные условия входа пучка в трубку. Знание этих условий является основой при выборе оптики инжектора или построении специальной согласующей системы.

Ниже рассматривается ускорительная протонная трубка с жесткой фокусировкой, осуществляемой магнитными квадрупольными линзами (использование в трубке электростатических квадрупольных линз описано в /1/). Применение жесткой фокусировки целесообразно, т.к. позволяет обеспечить ускорение интенсивных протонных пучков /1,2/ и препятствует образованию электронных лавин, резко снижающих электрическую прочность трубки /3/.

Существенной особенностью работы таких трубок является высокий прирост энергии ускоряемых частиц, приходящийся на один элемент периодичности жесткофокусирующего канала. Это обстоятельство вынуждает использовать в основном численные методы решения соответствующих уравнений движения.

Примем следующую систему относительных единиц (см., например, /4/):

а) единица длины - любой линейный размер l_0 (м):

$$y_1 = \frac{x}{l_0}, y_2 = y_1', y_3 = \frac{y}{l_0}, y_4 = y_3', s = \frac{z}{l_0}, ()' \equiv \frac{d}{ds} (); \quad (1)$$

x, y, z - декартовы координаты траектории частицы, причем z отсчитывается вдоль оси трубки, а координата входа в трубку $z = 0$.

б) единица потенциала:

$$\varphi_0 = \frac{m_0 c^2}{e} \text{ (в)}, \quad \varphi(s) = - \frac{U(s)}{\varphi_0}; \quad (2)$$

$U(s)$ - ускоряющий потенциал на оси трубки; для протонов $e = 1,6 \cdot 10^{-19}$ кул и $\varphi_0 = 9,38 \cdot 10^8$ в. Потенциал эмиттера принимается равным нулю.

в) единица тока:

$$I_0 = 4\pi c \epsilon_0 \varphi_0 \text{ (а)}, \quad J = \frac{I}{I_0}; \quad (3)$$

$\epsilon_0 = 10^{-9}/36\pi$ (Ф/м), для протонов $I_0 = 3,14 \cdot 10^7$ а.

г) единица градиента поля электромагнитной квадрупольной линзы:

$$G_0 = \frac{\varphi_0}{l_0^2 c} \text{ (тл/м)}, \quad g(s) = \frac{G(s)}{G_0}; \quad (4)$$

е) единица импульса:

$$P_0 = m_0 c \text{ (эв.сек/м)}, \quad \mathcal{P}(s) = \frac{P(s)}{P_0} = \sqrt{\varphi(2+\varphi)}; \quad (5)$$

В этих единицах уравнения для траектории частицы интенсивного нерелятивистского ($\varphi \ll 1$) ионного пучка, ускоряемого в трубке с электромагнитными квадрупольными линзами в линейном приближении по y_1 и y_3 имеют вид:

$$\begin{aligned} y_1'' + y_1' \frac{d}{ds} \ln \mathcal{P} + \left[\frac{g(s)}{\sqrt{2\varphi}} + \frac{\varphi''}{4\varphi} \right] y_1 &= \frac{\sqrt{2} \cdot J}{\varphi^{3/2}} \cdot \frac{y_1}{Y_1(Y_1 + Y_3)}; \\ y_3'' + y_3' \frac{d}{ds} \ln \mathcal{P} - \left[\frac{g(s)}{\sqrt{2\varphi}} - \frac{\varphi''}{4\varphi} \right] y_3 &= \frac{\sqrt{2} \cdot J}{\varphi^{3/2}} \cdot \frac{y_3}{Y_3(Y_1 + Y_3)}; \end{aligned} \quad (6)$$

Здесь $Y_1(s), Y_3(s)$ - огибающие пучка, а выражения, стоящие в правых частях (6) описывают действие самосогласованного поля пучка /3/.

Вместо вектора $y = (y_1, y_2, y_3, y_4)$ введем вектор $x = (x_1, x_2, x_3, x_4)$ по следующим соотношениям:

$$\begin{aligned} x_1(s) &= y_1(s) \cdot \left[\frac{\mathcal{P}(s)}{\mathcal{P}(0)} \right]^{1/2} = y_1(s) \cdot \left[\frac{\varphi(s)}{\varphi(0)} \right]^{1/4}; \\ x_2(s) &= x_1'(s) = \left[y_2(s) + \frac{y_1(s)}{4} \cdot \frac{\varphi'(s)}{\varphi(s)} \right] \cdot \left[\frac{\varphi(s)}{\varphi(0)} \right]^{1/4}; \\ x_3(s) &= y_3(s) \cdot \left[\frac{\varphi(s)}{\varphi(0)} \right]^{1/4}; \\ x_4(s) &= x_3'(s) = \left[y_4(s) + \frac{y_3(s)}{4} \cdot \frac{\varphi'(s)}{\varphi(s)} \right] \cdot \left[\frac{\varphi(s)}{\varphi(0)} \right]^{1/4}; \end{aligned} \quad (7)$$

Выражения (7) связывают также огибающие y - и x -движений, позволяя, в частности, по значению на входе в трубку вектора $Y(0) = [Y_1(0), Y_2(0) = Y_1'(0), Y_3(0), Y_4(0) = Y_3'(0)]$ найти отвечающий ему вектор $X(0) = [X_1(0), X_2(0) = X_1'(0), X_3(0), X_4(0) = X_3'(0)]$.

Если ионный пучок симметричен по парам фазовых переменных $y_1 y_2$ и $y_3 y_4$, то площади фазовых эллипсов одинаковы и пропорциональны эмиттансу пучка в сечении с координатой s :

$$\mathcal{E}_y(s) = \frac{1}{\pi} \int dy_1(s) \cdot dy_2(s) = \frac{1}{\pi} \int dy_3(s) \cdot dy_4(s) \quad (8)$$

Используя (7), легко получить соответствующие фазовые эл -

липсы в плоскостях x_1, x_2 и x_3, x_4 , причем их площади также одинаковы, не зависят от S и равны $\pi \varepsilon_y(0) = const$.

Из (6) и (7) находим:

$$\begin{aligned} x_1'' + \left[\frac{g(s)}{\sqrt{2}\varphi} + \frac{3}{16} \left(\frac{\varphi'}{\varphi} \right)^2 \right] x_1 &= \frac{J}{\varphi} \cdot \sqrt{\frac{2}{\varphi(0)}} \cdot \frac{x_1}{X_1(X_1 + X_3)}; \\ x_3'' - \left[\frac{g(s)}{\sqrt{2}\varphi} - \frac{3}{16} \left(\frac{\varphi'}{\varphi} \right)^2 \right] x_3 &= \frac{J}{\varphi} \cdot \sqrt{\frac{2}{\varphi(0)}} \cdot \frac{x_3}{X_3(X_1 + X_3)}; \end{aligned} \quad (9)$$

Решения системы (9) можно записать в виде:

$$x_\nu(s) = \frac{C_\nu}{2} \cdot b_\nu(s) \cdot \exp i \psi_\nu(s) + K.C. \quad \nu = 1, 3; \quad (10)$$

при обычно принимаемой нормировке:

$$b_\nu \cdot (b_\nu^{*'} - i \psi_\nu' \cdot b_\nu^*) - K.C. = -2i$$

Если эллипсы квадрупольного канала (уравнения которых получаются из выражений для $x_\nu(s)$ и $x_\nu'(s)$ исключением фазы $\psi_\nu(s)$) совпадают с границами фазовых эллипсов в плоскостях x_ν, x_ν' , то имеют место соотношения [5]:

$$X(s) = \sqrt{\varepsilon_y(0)} \cdot b(s), \quad |C_\nu|^2 = \varepsilon_y(0); \quad (11)$$

здесь $b(s) = [b_1(s), b_2(s) = b_1'(s), b_3(s), b_4(s) = b_3'(s)]$ — вектор модулей решений (10).

Уравнения для $b(s)$ получаются из (9) с учетом (11):

$$\begin{aligned} b_1'' + \left[\frac{g(s)}{\sqrt{2}\varphi} + \frac{3}{16} \left(\frac{\varphi'}{\varphi} \right)^2 \right] b_1 - \frac{1}{b_1^3} &= \frac{J}{\varepsilon_y(0)} \cdot \sqrt{\frac{2}{\varphi(0)}} \cdot \frac{1}{\varphi} \cdot \frac{1}{b_1 + b_3}; \\ b_3'' - \left[\frac{g(s)}{\sqrt{2}\varphi} - \frac{3}{16} \left(\frac{\varphi'}{\varphi} \right)^2 \right] b_3 - \frac{1}{b_3^3} &= \frac{J}{\varepsilon_y(0)} \cdot \sqrt{\frac{2}{\varphi(0)}} \cdot \frac{1}{\varphi} \cdot \frac{1}{b_1 + b_3}; \end{aligned} \quad (12)$$

Система типа (12) была получена в [3] и подробно исследована для случая длинных каналов, описываемых уравнениями с периодическими коэффициентами. При этом оптимальное (согласованное) прохождение пучком канала обеспечивается при совпадении $b(s)$ с вектором модулей функции Флоке: $b(s) \equiv \rho(s)$.

В общем случае (9) не допускает решений в форме Флоке, т.к. благодаря ускорению коэффициенты уравнений движения существенно

непериодичны. Для определения пропускных характеристик трубки и согласованных условий входа удобно использовать метод поиска, осуществляемый на ЭВМ.

Задание конкретных значений отношения $\zeta = J/\varepsilon_y(0)$ и входного вектора $b(0) = A$ определяет решение $b(s, \zeta, A)$ системы (12), а соотношения (11) и (7) позволяют найти достигаемые при этом в пределах трубки максимальные значения функций $Y_1(s)/\sqrt{\varepsilon_y(0)}$ и $Y_3(s)/\sqrt{\varepsilon_y(0)}$.

Наибольшая из этих двух величин при изменениях A образует скалярную функцию $Q(A)$:

$$Q(A) = \max_{0 \leq s \leq L} \left\{ \left[Y_1(s)/\sqrt{\varepsilon_y(0)} \right]_{\max}, \left[Y_3(s)/\sqrt{\varepsilon_y(0)} \right]_{\max} \right\} \quad (13)$$

где L — полная длина трубки.

Задачей поиска является нахождение для каждого фиксированного значения ζ такого входного вектора $A^* = b^*(0)$, который обеспечивал бы минимальное значение $Q(A^*) = Q_{min}$ по (13).

Для достижения этой цели можно рассматривать компоненты вектора A как четыре независимо варьируемых параметра и применить метод случайного поиска [5], организация которого в данном случае совпадает с описанной в [6].

Если через r_n обозначить максимальный радиус канала, отведенный под некогерентные колебания пучка, то знание Q_{min} позволяет найти значения входного эмиттанта пучка $\varepsilon_y(0)$, тока J , фазового объема пучка V_n и фазовой плотности j_φ :

$$\varepsilon_y(0) = \left(\frac{r_n}{Q_{min}} \right)^2, \quad J = \zeta \cdot \varepsilon_y(0), \quad V_n = \varepsilon_y(0) \cdot \beta(0), \quad j_\varphi = \frac{J}{V_n}; \quad (14)$$

Кроме того, соответствующее Q_{min} значение вектора $A^* = b^*(0)$ задает для найденных по (14) величин J и V_n согласованные условия на входе: любое отклонение от них связано с увеличением размеров пучка в трубке.

Отметим, что в частном случае длинного периодического канала при $\zeta = 0$ случайный поиск приводит к нахождению в качестве решения (9) $b(s)$ вектора модулей Флоке $\rho(s)$ этого канала.

Пусть требуется определить пропускные характеристики трубки

для ускорения протонов от энергии инъекции 100 кэВ до конечной энергии 1,65 мэВ.

Схема ускорительной и фокусирующей систем трубки, приведенная на рис.1, аналогична примененной в /2/. Фокусировка обеспечивается шестнадцатью квадрупольными линзами и электростатическими аксиально-симметричными линзами, образуемыми немагнитными металлическими цилиндрами. Радиус апертуры каждой линзы $r_n = 2,5$ см, длина $l_n = 5,2$ см, формула расстановки ФОДО с равными промежутками и периодом $S_0 = 15,4$ см. Ускоряющие цилиндры конструктивно объединены с линзами и имеют внутренний радиус $r_u = 2,3$ см и длину $l_u = 5,6$ см. Сечению входа в трубку отвечает координата $s=0$, а сечению выхода $s=L$.

В качестве единиц длины и градиента линз выбраны величины $l_0 = 0,01$ м и $G_0 = 3,13 \cdot 10^4$ тл/м соответственно.

На основе данных, содержащихся в /7/, можно получить распределение вдоль оси трубки градиента одиночной линзы с отношением $2r_n/l_n \approx 1$ в виде (пунктир на рис.1):

$$g(s) = \frac{g_m}{1 + \frac{|S_0(2n-1) - 4s|^2}{48}}, \quad \theta \approx 1,5 \frac{r_n}{l_0}, \quad \alpha = 3,25; \quad (15)$$

здесь n - порядковый номер линзы, $n = 1, 2, \dots, 16$;

$g_m = \pm G_m/G_0$ - значение градиента в центре линзы.

При групповой установке линз и слабой взаимной экранировке распределение градиента канала образуется суперпозицией распределений одиночных линз (см.рис.1) и для ориентировочных оценок может быть заменено синусоидой с амплитудой $a = 0,85 |g_m|$.

Величины электростатических потенциалов электродов трубки указаны на схеме, а изменение потенциала между серединами смежных цилиндров определяется выражением /8/:

$$\varphi(s) = \frac{U_{n+1} + U_n}{2\varphi_0} + \frac{U_{n+1} - U_n}{2\varphi_0} \cdot \text{th} \left\{ 1,315 \frac{l_0}{r_u} \left[s - (n-1) \frac{S_0}{2} \right] \right\} \quad (16)$$

где n, U_n - номер и потенциал левого цилиндра пары, $n = 1, 2, \dots, 16$.

В ряде случаев целесообразным является применение квадрупольных линз из постоянных магнитов /2/. Для указанных выше раз-

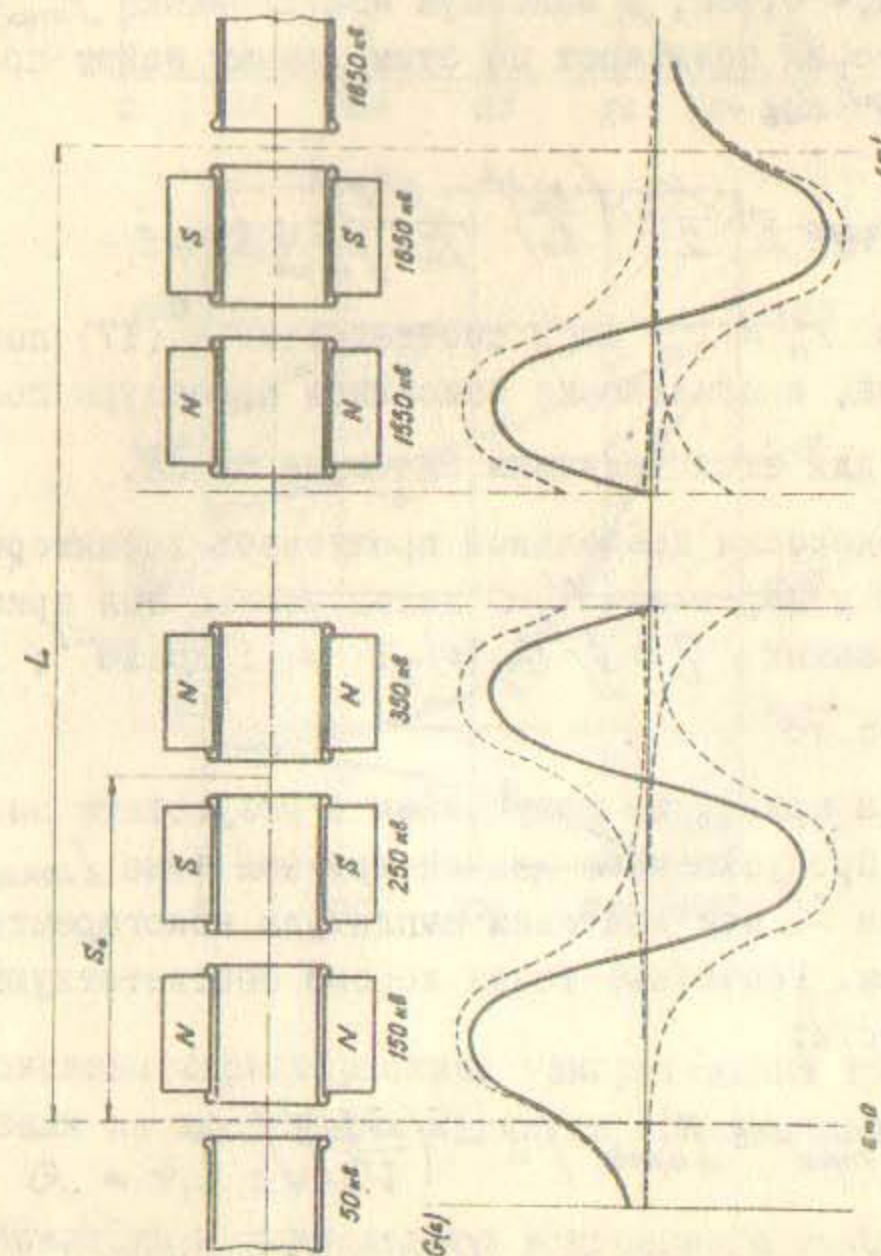


Рис.1. Схема ускорительной трубки.

меров могут быть практически получены значения градиентов в центре линзы G_m около 10 тл/м, а использование некоторых специальных магнитных материалов позволяет повысить эту величину.

Ниже рассмотрена система одинаковых линз с градиентом

$$G_m = 9,1 \text{ тл/м.}$$

В режиме без ускорения и без тока $\varphi' = 0, J = 0$ фокусирующий канал трубки описывается системой (12) с периодическими коэффициентами и имеет решение в форме Флоке $b(s) \equiv p(s)$. Набег фазы некогерентных колебаний на элементе периодичности S_0 канала в этом режиме $\mu_0 = 0,482$, а максимум модуля Флоке $\rho_{max} = 6,38$. Развита в [3] теория позволяет по этим данным найти предельный ток $I_{пред}$ при $\varphi' = 0$:

$$I_{пред} = \frac{\mu_0}{2} \cdot \left(\frac{r_n}{l_0}\right)^2 \cdot \frac{\beta^3 \gamma^3}{S_0 \cdot \rho_{max}^2} \cdot I_0 ; \quad (17)$$

Принимая $r_n = 1,5$ см в соответствии с (17) получаем

$I_{пред} = 84$ ма, а применение описанной процедуры поиска при $\varphi' = 0$ и $V_n \approx 0$ дает для этой величины значение 82 ма.

Для определения предельной пропускной характеристики в рабочем режиме с ускорением $\varphi' \neq 0$ метод поиска был применен при следующих значениях $\zeta = J/\mathcal{E}_y(0)$: $0; 1,25 \cdot 10^{-7}; 1,98 \cdot 10^{-7}; 3,75 \cdot 10^{-7}; 9,35 \cdot 10^{-7}$.

На рис.2а приведена полученная в результате зависимость максимального пропускаемого данной трубкой тока I_{max} от фазового объема пучка V_n при значении амплитуды некогерентных колебаний $r_n = 1,5$ см. Расчетные точки хорошо соответствуют найденной в [3] зависимости:

$$I_{max} = I_{пред} \cdot \left[1 - \left(\frac{V_n}{V_0}\right)^2\right] ; \quad (18)$$

если принять $I_{пред} = 350$ ма, $V_0 = 0,95$ см.мрад.

Из рис.2а видно, что ускорение токов, близких к $I_{пред} = 350$ ма, связано с большими значениями фазовых плотностей $j_\varphi = I_{max}/V_n$ [3]. В нашем случае, по-видимому, трудно получить $I_{max} > 300$ ма,

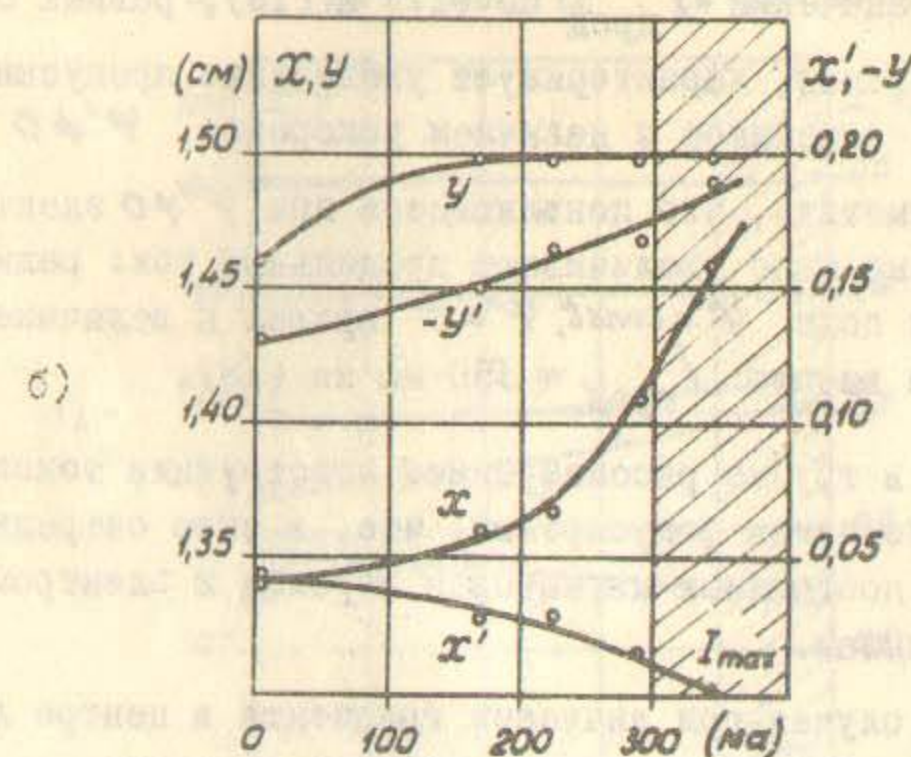
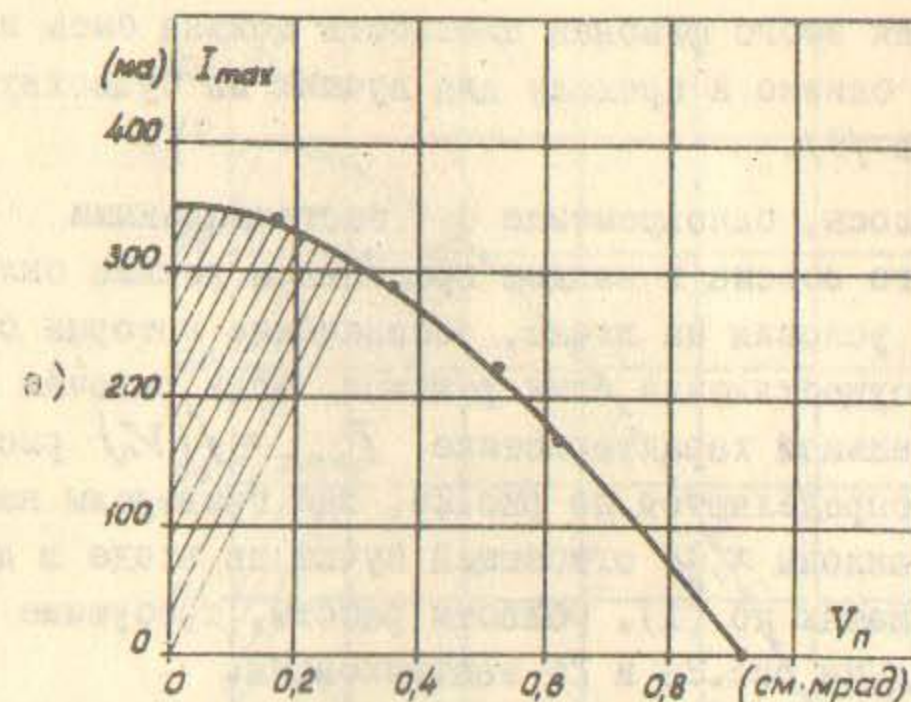


Рис.2. Основные характеристики ускорительной трубки с квадрупольными линзами из постоянных магнитов при значении градиента в центре линзы $G_m = 9,1$ тл/м.

а) - зависимость максимального ускоряемого тока I_{max} от фазового объема пучка V_n ,

б) - согласованные значения размеров x, y и наклонов x', y' огибающих пучка на входе в трубку.

т.к. требуемая для этого фазовая плотность должна быть выше I а/см.мрад, что близко к пределу для лучших из существующих источников протонов [9].

Как отмечалось, одновременно с экстремальными значениями тока и фазового объема в каждом предельном режиме были получены согласованные условия на входе, обеспечение которых совершенно необходимо для осуществления этих режимов. Если рабочая точка выбирается на предельной характеристике $I_{max} = f(V_n)$ рис.2а, то входные условия определяются по рис.2б, где приведены начальные размеры x, y и наклоны x', y' огибающей пучка на входе в декартовых размерных координатах по (1). Области работы, требующие значений $j_{\varphi} > I$ а/см.мрад на рис.2а и 2б заштрихованы.

Сравнение значений $I_{пред}$ по (17) и (18), равных 84 ма и 350 ма соответственно, характеризует увеличение пропускной способности трубки, связанное с наличием ускорения $\varphi' \neq 0$.

Следует отметить, что появляющиеся при $\varphi' \neq 0$ электростатические силы весьма мало увеличивают предельный ток: режим ускорения в однородном поле $\varphi' = const, \varphi'' = 0$ привел к величине $I_{пред} = 325$ ма вместо $I_{пред} = 350$ ма по (18).

Ускорение в трубке рассмотренной конструкции токов более 300 ма требует усиления фокусировки, что, в свою очередь, предполагает отказ от постоянных магнитов и переход к электромагнитным квадрупольным линзам.

Для этого случая при значении градиента в центре линзы $G_m = 25$ тл/м на рис.3а приведена пропускная характеристика, которая также описывается зависимостью вида (18), если принять $I_{пред} = 1,0$ а, $V_0 = 1,97$ см.мрад. Рабочим точкам, расположенным на этой характеристике отвечают согласованные входные условия рис.3б, а фазовым плотностям $j_{\varphi} > I$ а/см.мрад (заштрихованные участки на рис.3а и 3б) соответствуют максимальные токи более 0,8 а.

Предельные токи, пропускаемые трубкой без ускорения ($\varphi' = 0$), определенные по (17) при найденных для этого режима значениях $u_0 = 1,42$ $f_{max} = 4,97$ и методом поиска составляют соответственно 409 ма и 438 ма.

Авторы благодарны Б.В.Чирикову за обсуждение настоящей работы и интерес к ней.

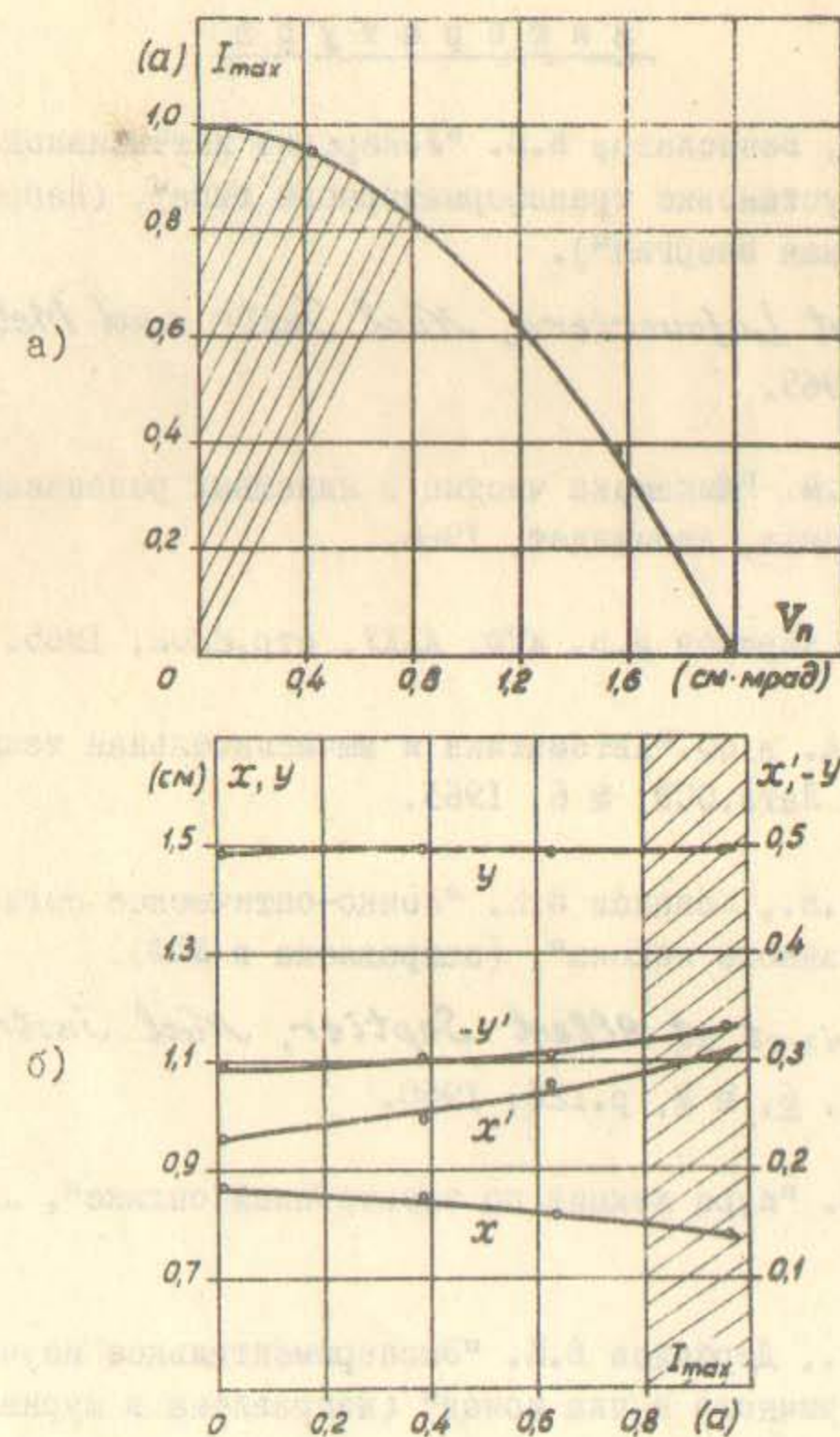


Рис.3. Основные характеристики ускорительной трубки с электромагнитными квадрупольными линзами при значении градиента в центре линзы $G_m = 25$ тл/м.

а) - зависимость максимального ускоряемого тока I_{max} от фазового объема пучка V_n ,

б) - согласованные значения размеров x, y и наклонов x', y' огибающих пучка на входе в трубку.

КНИЖКА СОДЕРЖИТ
Гос. Публ. Науч.-Тех.
Библиотека

44075-67

Л и т е р а т у р а

1. Абрамян Е.А., Вечеславов В.В. "Ускорение интенсивного пучка протонов на установке трансформаторного типа". (Направлена в журнал "Атомная энергия").
2. *G. Burnot et Lafoucriere, Nucl. Instr. and Methods, 32, p.287, 1965.*
3. Капчинский И.М. "Динамика частиц в линейных резонансных ускорителях", Москва, Атомиздат, 1966.
4. Мешков И.Н., Чириков Б.В. ЖТФ, XXXV, стр.2202, 1965.
5. Растригин Л.А. в сб. "Автоматика и вычислительная техника", Рига, Изд.АН Латв.ССР, № 6, 1963.
6. Вечеславов В.В., Кононов В.И. "Ионно-оптическое согласование методом случайного поиска", (направлена в ЖТФ).
7. *Pierre Grivet et Albert Septier, Nucl. Instr. and Methods, 6, № 2, p.126, 1960.*
8. Зинченко Н.С. "курс лекций по электронной оптике", Харьков, 1961.
9. Тепляков В.А., Дербиллов В.И. "Экспериментальное изучение аксиально-симметричного пучка ионов" (направлена в журнал "Радиотехника и электроника").

140728

ЛИТЕРАТУРА

1. Горбунов В.А. "Кристаллы ионных полимеров". Доклады Академии наук СССР, 1963, № 1, с. 10-12.
2. Горбунов В.А. "Кристаллы ионных полимеров". Доклады Академии наук СССР, 1963, № 1, с. 13-15.
3. Горбунов В.А. "Кристаллы ионных полимеров". Доклады Академии наук СССР, 1963, № 1, с. 16-18.
4. Горбунов В.А. "Кристаллы ионных полимеров". Доклады Академии наук СССР, 1963, № 1, с. 19-21.
5. Горбунов В.А. "Кристаллы ионных полимеров". Доклады Академии наук СССР, 1963, № 1, с. 22-24.
6. Горбунов В.А. "Кристаллы ионных полимеров". Доклады Академии наук СССР, 1963, № 1, с. 25-27.
7. Горбунов В.А. "Кристаллы ионных полимеров". Доклады Академии наук СССР, 1963, № 1, с. 28-30.
8. Горбунов В.А. "Кристаллы ионных полимеров". Доклады Академии наук СССР, 1963, № 1, с. 31-33.
9. Горбунов В.А. "Кристаллы ионных полимеров". Доклады Академии наук СССР, 1963, № 1, с. 34-36.
10. Горбунов В.А. "Кристаллы ионных полимеров". Доклады Академии наук СССР, 1963, № 1, с. 37-39.

Ответственный за выпуск В.А.Горбунов
Подписано к печати 23.01.63 г., заказ № 98,
0,6 печ. л., тираж 200 экз., бесплатно.
Отпечатано на ротапринте в ИЯФ СО АН СССР